

EPDM 粒子不相交判断方法为相邻粒子距离大于粒子半径之和。

3 应用实例

基于开发的 EPDM/PP 几何模型建立程序,通过输入不同模型参数而生成不同类型几何模型,结果如图 4 所示,不同模型对应的参数见表 1。

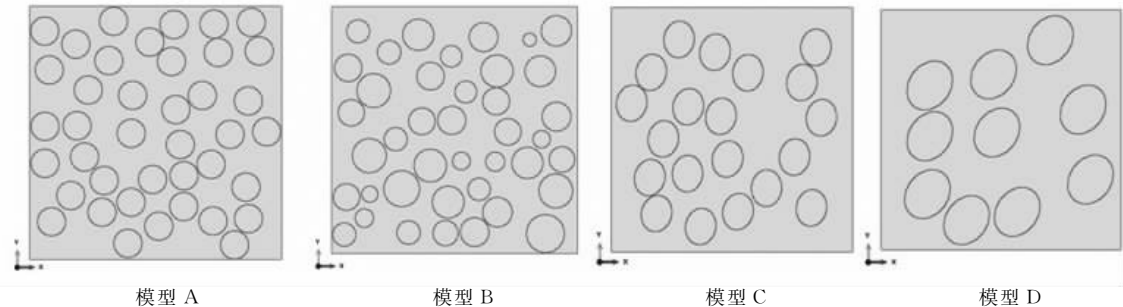


图 4 输入不同参数条件得到的 EPDM/PP 几何模型

表 1 不同类型几何模型对应的参数

模型类型	基体长度/ μm	EPDM 粒子大小/ μm	EPDM 取向度/(°)	EPDM 粒子数量/个	EPDM 面积分数
模型 A	17.72	1	—	40	0.40
模型 B	265.5	15	—	40	0.40
模型 C	66.71	长轴 $a=5.00$, 短轴 $b=4.25$	15~80	20	0.40
模型 D	9.153	长轴 $a=5.00$, 短轴 $b=4.00$	60	8	0.30

(2) 根据 EPDM/PP 几何模型特征,蒙特卡洛方法可以建立分散相 EPDM 定向和随机取向几何模型以及分散相 EPDM 粒子大小均一分布和正态分布的几何模型。

参 考 文 献:

- [1] 田明, 刘力, 田洪池, 等. EPDM/PP 共混型热塑性硫化胶的增容研究[J]. 合成橡胶工业, 2003, 26(3): 144~147.
- [2] 谭江华. 橡胶与颗粒增强橡胶的力学行为及其有限元模拟[D]. 湘潭:湘潭大学, 2012.
- [3] 潘炯玺, 叶林忠, 李刚, 等. 动态硫化 PP/EPDM 热塑性弹性

表 1。

4 结论

(1) 采用 Python 脚本语言对 Abaqus 进行二次开发, 得到用户图形界面, 输入相关模型参数, 可以建立不同类型的 EPDM/PP 几何模型, 与手工方式相比效率显著提高。

体性能的研究[J]. 橡胶工业, 1997, 44(5): 259~262.

[4] Takuo Asamia, Koh-hei Nitta. Morphology and Mechanical Properties of Polyolefinic Thermoplastic Elastomer. I. Characterization of Deformation Process[J]. Polymer, 2004, 45(15): 5301~5306.

[5] Takashi Aoyamaa, Angola Juan Carlosa. Strain Recovery Mechanism of PBT/Rubber Thermoplastic Elastomer[J]. Polymer, 1999, 40(13): 3657~3663.

[6] 曹金凤, 王旭春, 孔亮, 等. Python 语言在 Abaqus 中的应用 [M]. 北京: 机械工业出版社, 2011: 10~80.

收稿日期: 2014-12-13

一种抽真空密炼机

中图分类号 TQ330.4⁺³ 文献标志码 D

由王孔金申请的专利(公开号 CN 103552167A, 公开日期 2014-02-05)“一种抽真空密炼机”, 涉及的抽真空密炼机包括机架、密炼室、压料装置、密炼装置和抽真空装置。机架的下部设有密炼室, 上部设有压料装置; 密炼室连接密

炼装置, 密炼室的上方设有用于对密炼室进行抽真空的抽真空装置。该设备在工作过程中可对密炼室进行自动抽真空, 防止密炼室内的有害气体排出外界造成环境污染, 同时可阻止密炼室内的化工原料被外界空气氧化, 确保生产出高质量的产品。

(本刊编辑部 赵 敏)